

محاسبه درصد دوز عمقی در نقاط مختلف زیر یک فیلتر پله‌ای با استفاده از روش کلارکسون(Clarkson) در پرتو درمانی خارجی با کبات - ۶۰

دکتر محمد جواد طهماسبی بیرگانی^{*}، دکتر منصور انصاری^{**}، مهدی قربانی^{***}

چکیده

هدف: دوزیمتري پرتوها در رادیوتراپي دارای اهميت بالايي است. زيرا راديو تراپي موفقیت آمیز مستلزم تابش دقیق دوز به حجم سرطانی در بافت است. در این تحقیق سعی شده است تا با تعیین روش کلارکسون، روشی برای محاسبه درصد دوز عمقی در زیر یک فیلتر پله‌ای ارائه شود. برای اینکه بتوان با تقریب قابل قبولی توزیع درصد دوز عمقی در زیر فیلتر پله‌ای را به عنوان توزیع درصد دوز عمقی گوهای با همان ابعاد در نظر گرفت و در درمان مورد استفاده قرار داد، باید تعداد پله‌ها به اندازه کافی باشد.

روش بررسی: با استفاده از روش کلارکسون، مقادیر درصد دوز عمقی در نقاط زیر هر پله میدانهای $16 \times 8 \times 14$ و $12 \times 8 \times 14$ cm³ مربوط به چشمde کبات ۶۰ و در عمقهای ۲۰، ۱۵، ۱۰، ۵ سانتی متر محاسبه شده و با مقادیر اندازه گیری مربوط به نقاط متاظر مقایسه شده‌اند. بدین منظور، مقادیر $\frac{(PDD)_{d=5}}{(PDD)_{d=10}}$ و $\frac{(PDD)_{d=5}}{(PDD)_{d=20}}$ مربوط به محاسبه و اندازه گیری با یکدیگر مقایسه شده‌اند روش آماری اندازه گیری‌های دوز، در فاتحوم پر از آب و با استفاده از اتاقک یونیزاسیون فارمر و الکترومتر همراحت صورت گرفته است.

یافته‌ها: میانگین قدر مطلق اختلاف مقادیر $\frac{(PDD)_{d=5}}{(PDD)_{d=10}}$ و $\frac{(PDD)_{d=5}}{(PDD)_{d=20}}$ مربوط به محاسبه و اندازه گیری برای میدانهای 8×8 تا $16 \times 8 \times 14$ به ترتیب عبارتند از: ۰/۳۸۶۱، ۰/۲۳۸۱، ۸×۱۰، ۰/۲۳۴۷، ۰/۲۴۱۶، ۸×۱۲، ۰/۲۴۱۶، ۰/۳۲۹۳، ۰/۳۲۹۳ برای میدان 8×8 ، برای میدان 16×8 ، برای میدان 16×14 و برای میدان 16×16 . این میانگین برای همه میدانها برابر با ۰/۳۰۵۹ است.

نتیجه گیری: با توجه به اینکه فرمول صریحی برای محاسبه درصد دوز عمقی در زیر فیلتر گوه وجود ندارد، لذا فرمول ارائه شده در این تحقیق می‌تواند در تسريع طراحی درمان بیماران مفید باشد.

کلید واژگان: درصد دوز عمقی، روش کلارکسون، فیلتر پله‌ای، کبات ۶۰، فیلتر وج

مقدمه

که کاهش ۱۰-۱۵ درصد در دادن دوز، باعث کاهش شناس درمان با فاکتور ۲ یا ۳ می‌شود؛ در حالیکه افزایش مشابهی در دوز می‌تواند احتمال آسیب غیر قابل برگشت را به همین نسبت افزایش دهد(۱). با توجه به اهمیت

دوزیمتري پرتوها در رادیوتراپي دارای اهميت بالايي است. زيرا راديو تراپي موفقیت آمیز مستلزم تابش دقیق دوز به حجم سرطانی در بافت بوده، اعتقاد بر اين است

* استادیار گروه فیزیک پزشکی و بخش رادیوتراپی، دانشگاه علوم پزشکی جندی شاپور اهواز

** استادیار و عضو هیأت علمی دانشگاه علوم پزشکی جندی شاپور اهواز

*** کارشناس ارشد فیزیک پزشکی، دانشگاه علوم پزشکی جندی شاپور اهواز

۱- نویسنده مسؤول

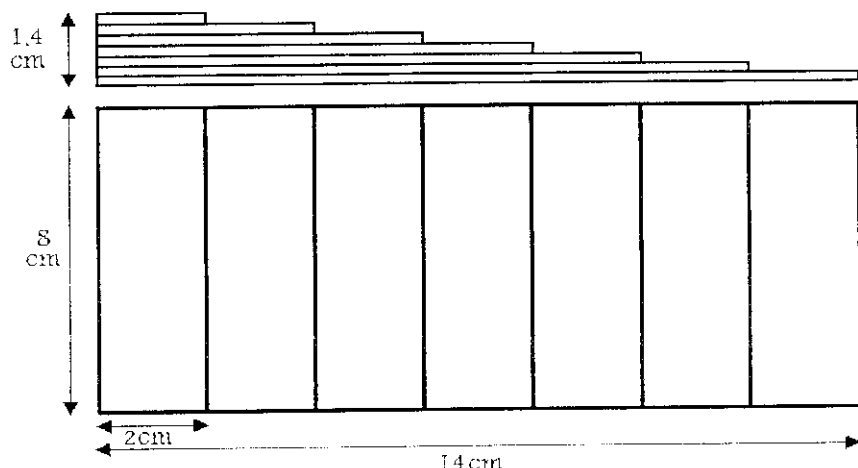
دریافت مقاله: ۱۳۸۴/۸/۱۷ اعلام قبولی: ۱۳۸۴/۴/۱۳ دریافت مقاله اصلاح شده: ۱۳۸۴/۱۰/۱۴

بلوک و تعدیل کننده‌های پرتوی صورت گرفته است (۲۲-۱۱)، در این تحقیق سعی شده است تا با تعیین روش کلارکسون، روشی برای محاسبه درصد دوز عمقی در زیر یک فیلتر پله‌ای ارائه شود.

روش بررسی

فیلترهای پله‌ای با ابعاد $8 \times 16 \text{ cm}^3$ و $8 \times 14 \text{ cm}^3$ و $8 \times 12 \text{ cm}^3$ و $8 \times 10 \text{ cm}^3$ در نظر گرفته شد، به طوریکه به ازای هر ۲ سانتیمتر از طول میدان، یک پله منظور شد. ضخامت هر پله ۲ میلیمتر سرب در نظر گرفته گردید. به عنوان نمونه، نمایش شماتیک میدان 8×14 و پله‌های مربوطه، در شکل ۱ مشاهده می‌شود:

همین نسبت افزایش دهد (۱). با توجه به اهمیت محاسبه و اندازه گیری دوز در رادیوتراپی، بسیاری از تحقیقاتی که در رادیوتراپی صورت می‌گیرند، در این زمینه می‌باشند (۲-۷). روش کلارکسون یکی از روش‌های مهم و کارآمد در رادیوتراپی است که از آن در محاسبه درصد دوز عمقی در قسمتهای باز میدانهای نامنظمی که قسمتی از آن بلوک شده است، استفاده می‌شود (۸). یکی از عیوب روش کلارکسون، آن است که روش یاد شده بر این فرض استوار است که پرتوی پراکنده، به استثنای نواحی که توسط بلوک یا کولیماتور شیلد شده است، در تمام میدان به طور یکنواخت تولید می‌شود. در این روش از عواملی مانند حضور فیلترهایی که پرتو را به صورت جزئی عبور می‌دهند (وج) و یا عدم یکنواختی سطح، که شار اولیه فوتونها را تغییر می‌دهد، صرف نظر می‌شود (۹ و ۱۰). اگرچه تحقیقاتی در زمینه محاسبه دوز در زیر وج،



شکل ۱: نمایش شماتیک میدان 8×14 و پله‌های مربوطه.

با استفاده از دوزیمتر فارمر و الکترومتر همراهش که توسط مرکز SSDL سازمان انرژی اتمی ایران کالیبره شده صورت گرفته است. مقادیر الکترومتر در زیر هر پله از میدانهای ذکر شده و برای عمقهای ۲۰، ۱۵، ۱۰، ۵ سانتیمتر قوانست گردید. برای مقایسه محاسبه و اندازه‌گیری، مقادیر $\frac{(PDD)_{d=10}}{(PDD)_{d=20}}$ و $\frac{(PDD)_{d=5}}{(PDD)_{d=15}}$ مربوط به محاسبه و اندازه‌گیری برای زیر هر پله از این میدانها با یکدیگر مقایسه شدند. برای مقادیر اندازه‌گیری در زیر هر پله داریم:

$$\frac{(PDD_5)_{\text{measurement}}}{(PDD_{15})_{\text{measurement}}} = \frac{\frac{(D_{10d=5cm}) \times 100}{D_{\max}}}{\frac{(D_{15d=15cm}) \times 100}{D_{\max}}} = \frac{D_5}{D_{15}} = \frac{(M_{10d=5cm})}{(M_{15d=15cm})}$$

که در این رابطه، M عدد قرائت شده از الکترومتر می‌باشد. برای $\frac{(PDD_{10})_{\text{measurement}}}{(PDD_{20})_{\text{measurement}}}$ نیز این روابط برقرار است. برای مقایسه محاسبه و اندازه‌گیری، میانگین قدرمطلق اختلاف مقادیر $\frac{5}{15}$ و $\frac{10}{20}$ مربوط به محاسبه و اندازه‌گیری به دست آمد.

یافته‌ها

نتایج محاسبه درصد دوز عمقی در زیر هر پله در عمقهای ۲۰، ۱۵، ۱۰، ۵ سانتیمتر برای میدانهای 8×8 تا 8×16 در جدول ۱ خلاصه شده است. برای هر عمق و هر پله، سه بار تکرار و میانگین در جدول (۱) ثبت شده است.

مقادیر درصد دوز عمقی برای نقاط زیر هر پله در عمقهای ۲۰، ۱۵، ۱۰، ۵ سانتیمتر محاسبه گردید. برای این منظور، ابعاد میدان برای هر عمق ترسیم گشته، و در هر نقطه ۳۶ سکتور با زاویه ۱۰ درجه نسبت به هم ترسیم شد. طولهایی از هر سکتور که در زیر هر پله قرار گرفت با استفاده از خط کش اندازه‌گیری شد. با استفاده از جداول مقادیر SAR (نسبت اشعه پراکنده به هوا)، مقادیر SAR مربوط به این طولها درونیابی گردید. SAR مربوط به هر پله در ضریب $(2T-1)$ (ضریب ۱- برای عبور صفر و ضریب ۱ برای عبور کامل) ضرب شد که T ضریب عبور پله مربوطه می‌باشد و $\frac{I}{I_0} = e^{-\mu x}$ که در آن X خیامات این پله است. مقادیر به دست آمده برای هر پله در هر سکتور با هم جمع و میانگین مقادیر مربوط به هر سکتور محاسبه شد. با استفاده از فرمول $TAR = T \times TAR(0 \times 0) + \overline{SAR}$ مقدار \overline{TAR} بدست آمده و با استفاده از فرمول $PDD = 100 \times \frac{\overline{TAR}}{BSF} \times \left(\frac{SSD + d_m}{SAD} \right)^2$ دوز عمقی محاسبه گردید که در این رابطه، BSF فاکتور پرتوهای برگشتی، همان TAR میانگین برای عمق ۰/۵ سانتیمتر است که با استفاده از روش بالا ولی برای عمق ۰/۵ سانتیمتر محاسبه شد. SSD فاصله چشمی تا سطح، d_m عمق ماکریزم دوز و d عمق مورد نظر می‌باشد. محاسبات برای پرتوهای گامای کیالت ۶۰ و با استفاده از نرم‌افزار Microsoft Excel 2000 صورت گرفته‌اند مقادیر درصد دوز عمقی محاسبه شده، در نرم‌افزار Datafit 8.0 وارد گردید و از بیش از ۲۰۰ فرمول، فرمولی که دارای کمترین خطای استاندارد بود تعیین شد. این فرمول، مقدار درصد دور عمقی را بر حسب عمق و فاصله از لبه میدان به دست می‌دهد. فیلترهای پله‌ای با ابعاد ذکر شده از جنس سرب ساخته شده و در میدانهای کیالت ۶۰ قرار داده شد. اندازه‌گیریها در فانتوم آب از جنس پرسپکس با ابعاد $30\text{cm} \times 30\text{cm} \times 30\text{cm}$ ،

جدول ۱: مقادیر درصد دوز عمقی محاسبه شده، برای عمقهای ۲۰ و ۱۵، ۱۰، ۵ سانتیمتر و میدانهای ۸×۸ تا ۱۶×۱۶

پنهان	پله اول	پله دوم	پله سوم	چهارم	پنجم	ششم	هفتم	مشتم	عمق (cm)
۱۶×۱۶	۷۲/۳۰۰	۷۴/۱۲۴۲	۷۳/۷۱۰۹	۷۲/۱۰۱۸	-	-	-	-	۰
	۴۹/۳۰۰	۵۰/۲۶۸۳	۴۹/۸۷۲۶	۴۸/۴۹۶۰	-	-	-	-	۱۰
	۲۲/۴۰۱۲	۲۲/۹۴۴۲	۲۲/۷۷۴۸	۲۱/۷۷۳۱	-	-	-	-	۲۰
	۲۲/۴۱۲۰	۲۲/۸۰۷۸	۲۳/۸۰۲۱	۲۲/۳۸۱۹	-	-	-	-	۱۰
	۷۳/۳۳۲۰	۷۳/۱۷۶۱	۷۳/۷۹۴۷	۷۲/۲۰۹۰	۷۰/۸۰۷۴	-	-	-	۵
۱۵×۱۵	۴۹/۳۷۷۳	۴۹/۳۱۹۱	۴۹/۹۰۶۰	۴۸/۶۰۱۰	-	-	-	-	۱۰
	۲۲/۲۲۷۱	۲۲/۵۸۵۲	۲۲/۰۸۷۱	۲۱/۳۰۳۳	-	-	-	-	۱۰
	۲۲/۴۷۱۱	۲۲/۹۷۰۰	۲۲/۷۲۰۳	۲۱/۲۶۸۰	-	-	-	-	۲۰
	۷۳/۲۴۷۷	۷۳/۰۷۷۷	۷۳/۶۲۹۹	۷۱/۹۸۴۷	۷۰/۳۰۱۹	-	-	-	۰
	۴۹/۲۹۸۷	۴۹/۲۱۳۲	۴۹/۷۹۲۹	۴۸/۳۸۲۳	۴۷/۷۷۵۰	-	-	-	۱۰
۱۴×۱۴	۷۳/۱۹۸۰	۷۳/۸۱۰۱	۷۳/۴۶۰۲	۷۲/۲۹۴۴	۷۰/۳۹۲۴	-	-	-	۱۰
	۲۲/۴۱۶۶	۲۲/۹۱۰۰	۲۲/۶۲۶۰	۲۱/۷۰۷۶	۱۹/۸۸۲۶	-	-	-	۲۰
	۷۳/۱۱۹۷	۷۳/۸۶۶۹	۷۳/۳۷۲۷	۷۱/۵۶۷۹	۶۷/۶۹۹۲	۶۷/۷۹۹۶	-	-	۰
	۴۹/۱۷۸۷	۴۹/۰۱۷۰	۴۹/۰۴۰۰	۴۷/۹۷۷۳	۴۴/۱۸۹۷	۴۲/۲۶۶۰	-	-	۱۰
	۷۳/۱۰۰۷	۷۳/۶۶۴۰	۷۳/۲۶۴۹	۷۱/۹۷۷۷	۶۸/۸۰۷۵	۶۷/۳۷۷۷	-	-	۱۰
۱۳×۱۳	۷۳/۲۴۷۱	۷۳/۲۷۰۷	۷۳/۴۷۰۷	۷۱/۴۰۰۰	۱۹/۱۷۰۵	۱۷/۷۹۰۹	-	-	۲۰
	۷۲/۹۴۷۰	۷۲/۶۲۹۲	۷۲/۰۰۹۰	۷۱/۱۱۶۷	۶۷/۰۵۲۶	۶۷/۸۰۱۶	-	-	۰
	۴۹/۰۱۰۰	۴۹/۷۸۶۱	۴۹/۱۸۴۸	۴۷/۰۳۲۱	۴۳/۰۸۰۸	۴۰/۱۰۲۰	۳۸/۷۵۴۲	-	۱۰
	۷۲/۹۷۰۴	۷۲/۴۸۰۴	۷۲/۰۲۰۷	۷۱/۷۳۷۰	۶۹/۸۷۶۴	۶۸/۰۰۰۸	۶۷/۰۷۷۳	۶۷/۳۷۴۱	۱۰
	۷۲/۲۲۹۰	۷۲/۷۵۰۰	۷۲/۰۲۷۷	۷۱/۱۸۳۸	۶۸/۴۲۷۹	۶۷/۴۲۸۰	۶۷/۳۳۸۹	-	۲۰

که در این رابطه، X_1 بیانگر فاصله از لبه میدان (از سمت چپ میدان) و X_2 عمق بوده و مقادیر ضرائب ثابت برابر

است با:

فرمول به دست آمده با استفاده از نرم افزار 8.0 Datafit
عبارتست از:

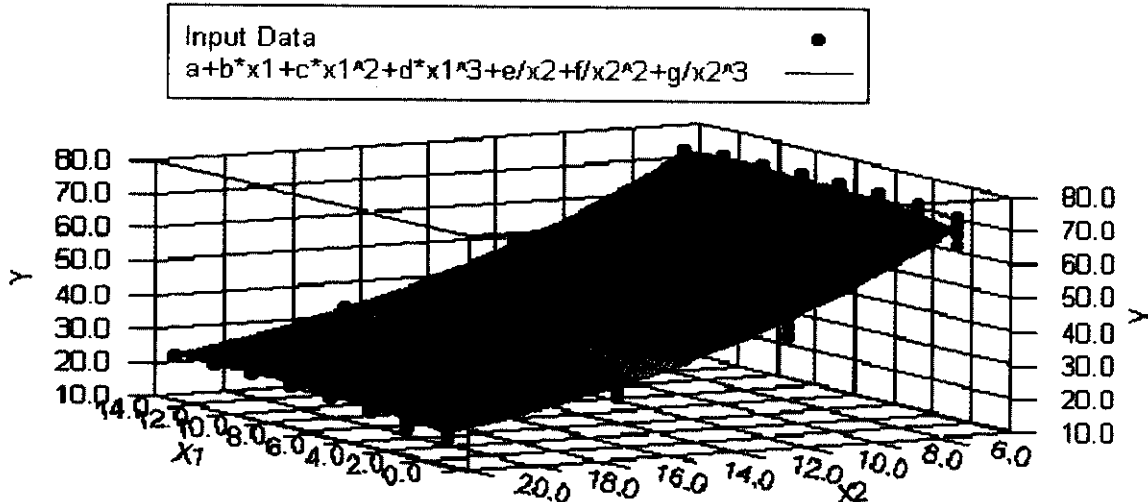
$$PDD = A + BX_1 + CX_2 + DX_1^2 + EX_2^2 + FX_1X_2$$

$$\begin{aligned} A &= 98.10460362 \\ B &= 0.9454433477 \\ C &= -6.5691616576 \\ D &= -0.03618648636 \end{aligned}$$

Standard Error of the Estimate = 1.7738

نمودار درصد دوز عمقی بر حسب فاصله از لبه میدان و عمق، با استفاده از این نرم افزار ترسیم و بصورت سه بعدی در نمودار ۱ مشاهده می شود.

خطای استاندارد در این فرمول برابر است با: ۱/۷۷۳۸ که توسط نرم افزار فوق برآورد شده است.



شکل ۱: مقادیر درصد دوز عمیق محاسبه شده با استفاده از فرمول، بر حسب عمق (X_2) و فاصله از لبه میدان (X_1).

مقادیر PDD_{10} و PDD_{20} مربوط به محاسبه و

اندازه‌گیری برای میدانهای 8×8 تا 16×16 در جدولهای ۲ تا ۶ ذکر شده است:

در این نمودار، سطح، بیانگر مقادیر فرمول و نقاط، نشان دهنده مقادیر ورودی می‌باشد.

جدول ۲: نسبت‌های $PDD10/20$ و $PDD5/15$ محاسبه شده و اندازه‌گیری شده برای میدان $8 \times 8 \text{ cm}^2$.

نسبت درصدهای دوز	$x = 1 \text{ (cm)}$		$x = 3 \text{ (cm)}$		$x = 5 \text{ (cm)}$		$x = 7 \text{ (cm)}$	
	(پله چهارم)		(پله سوم)		(پله دوم)		(پله اول)	
	محاسبه عمقی	اندازه‌گیری	محاسبه اندازه‌گیری	محاسبه اندازه‌گیری	محاسبه اندازه‌گیری	محاسبه اندازه‌گیری	محاسبه اندازه‌گیری	محاسبه اندازه‌گیری
PDD 5/15	1/9492	2/2266	1/9863	2/1989	1/9239	2/2069	1/998	2/2050
PDD10/20	2/7841	2/2273	2/7627	2/1990	2/7321	2/1909	2/7385	2/1983

جدول ۳: نسبت‌های $PDD10/20$ و $PDD5/15$ محاسبه شده و اندازه‌گیری شده برای میدان $8 \times 10 \text{ cm}^2$.

نسبت درصدهای دوز عمقی	$x = 1 \text{ (cm)}$		$x = 3 \text{ (cm)}$		$x = 5 \text{ (cm)}$		$x = 7 \text{ (cm)}$		$x = 9 \text{ (cm)}$	
	(پله چهارم)		(پله پنجم)		(پله سوم)		(پله دوم)		(پله اول)	
	محاسبه اندازه‌گیری									
PDD 5/15	1/9683	2/2636	1/8938	2/2231	1/8151	2/1972	1/7779	2/1883	1/804	2/2044
PDD10/20	1/9346	2/2209	2/2165	2/2246	2/4222	2/1982	2/6276	2/1401	2/7312	2/1978

جدول ۴: نسبت‌های PDD10/20 و PDD5/15 محاسبه شده و اندازه‌گیری شده برای میدان $8 \times 12 \text{ cm}^2$.

نسبت در صدھای دوز عمقی	$x=1 \text{ (cm)}$ (پله ششم)	$x=3 \text{ (cm)}$ (پله پنجم)	$x=5 \text{ (cm)}$ (پله چهارم)	$x=7 \text{ (cm)}$ (پله سوم)	$x=9 \text{ (cm)}$ (پله دوم)	$x=11 \text{ (cm)}$ (پله اول)	محاسبه اندازه گیری						
PDD 5/15	۱/۹۲۰۵	۲/۳۱۱۷	۱/۸۹۸۸	۲/۲۷۰۸	۱/۸۷۱۰	۲/۲۲۹۰	۱/۹۰۴۷	۲/۲۰۰۵	۲/۰۲۹۲	۲/۱۹۰۴	۱/۹۷۴۸	۲/۲۰۶۲	
PDD10/20	۲/۰۰۸۵	۲/۲۸۵۰	۱/۹۹۰۹	۲/۲۳۰۷	۲/۱۲۲۴	۲/۲۲۸۹	۲/۲۹۹۰	۲/۲۰۰۷	۲/۴۰۷۵	۲/۱۹۱۷	۲/۳۰۸۹	۲/۱۹۹۲	

جدول ۵: نسبت‌های PDD10/20 و PDD5/15 محاسبه شده و اندازه‌گیری شده برای میدان $8 \times 14 \text{ cm}^2$.

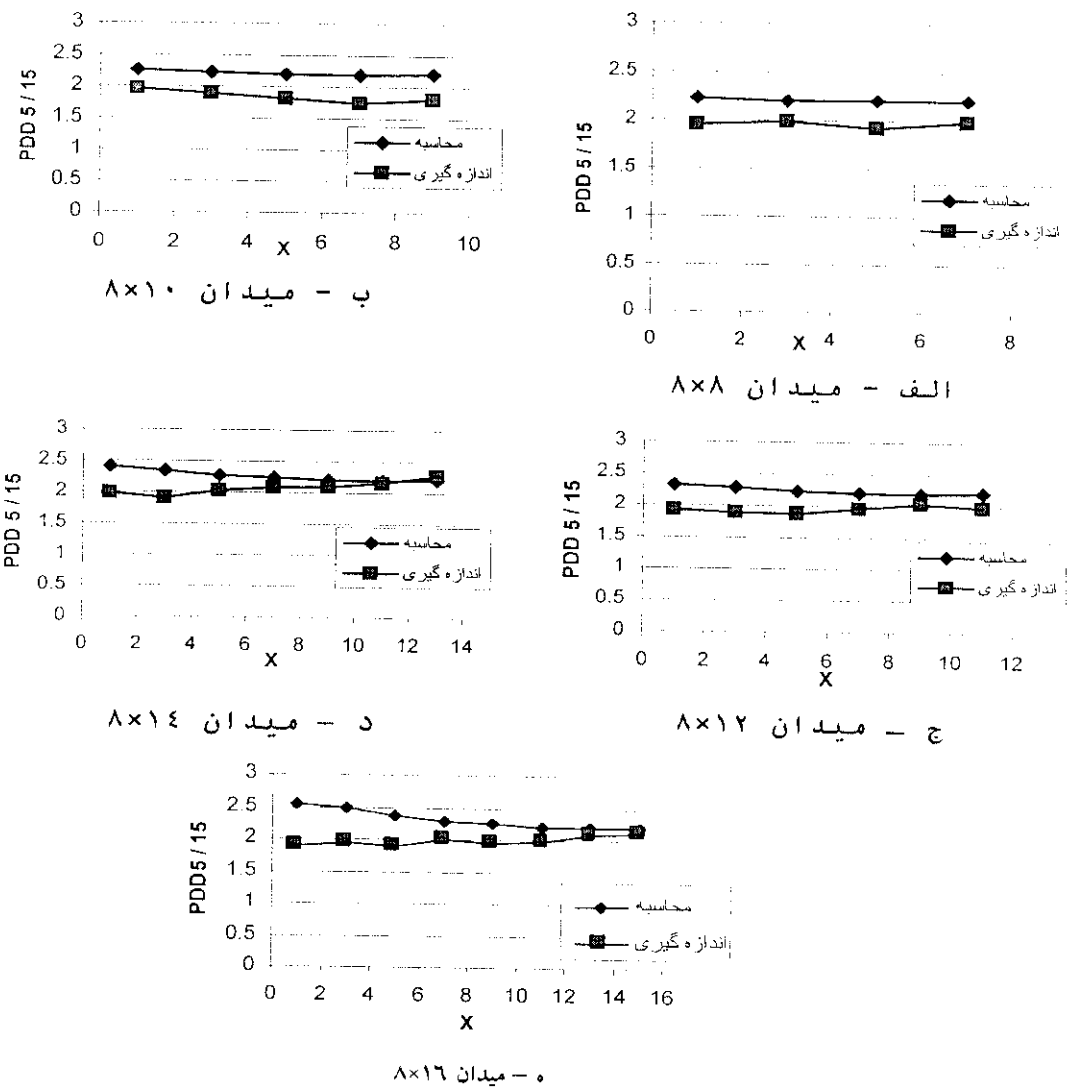
نسبت در صدھای دوز عمقی	$x=7 \text{ (cm)}$ (پله چهارم)	$x=9 \text{ (cm)}$ (پله سوم)	$x=11 \text{ (cm)}$ (پله دوم)	$x=13 \text{ (cm)}$ (پله اول)					
PDD 5/15	۲/۰۸۶۵	۲/۲۳۸۱	۲/۰۹۶۱	۲/۲۰۵۷	۲/۱۵۴۴	۲/۱۹۴۲	۲/۲۷۷۷	۲/۲۰۸۷	
PDD10/20	۱/۹۲۲۲	۲/۲۳۷۰	۱/۹۶۰۸	۲/۲۰۴۷	۲/۰۱۱۷	۲/۱۹۴۶	۲/۱۹۳۳	۲/۲۰۱۱	
نسبت در صدھای دوز عمقی	$x=1 \text{ (cm)}$ (پله هفتم)	$x=3 \text{ (cm)}$ (پله ششم)	$x=5 \text{ (cm)}$ (پله پنجم)	محاسبه اندازه گیری					
PDD 5/15				۱/۹۸۰۷	۲/۴۰۳۵	۱/۹۱۹۸	۲/۳۴۶۰	۲/۰۳۵۰	۲/۲۶۹۲
PDD10/20				۱/۹۱۶۵	۲/۳۷۵۱	۱/۹۲۱۷	۲/۳۱۲۷	۱/۹۱۰۸	۲/۲۴۲۷

جدول ۶: نسبت‌های PDD10/20 و PDD5/15 محاسبه شده و اندازه‌گیری شده برای میدان $8 \times 16 \text{ cm}^2$.

نسبت در صدھای دوز عمقی	$x=9 \text{ (cm)}$ (پله چهارم)	$x=11 \text{ (cm)}$ (پله سوم)	$x=13 \text{ (cm)}$ (پله دوم)	$x=15 \text{ (cm)}$ (پله اول)				
PDD 5/15	۱/۹۳۱۵	۲/۲۴۸۰	۱/۹۵۹۶	۲/۲۱۳۰	۲/۰۸۰۵	۱۹۸	۲/۱۰۸۸	۲/۲۱۲۲
PDD10/20	۲/۰۲۸۶	۲/۲۴۳۸	۱/۹۹۴۴	۲/۲۱۰۳	۱/۹۱۶۵	۱۹۸	۱/۸۸۸۳	۲/۲۰۳۷
نسبت در صدھای دوز عمقی	$x=1 \text{ (cm)}$ (پله هشتم)	$x=3 \text{ (cm)}$ (پله هفتم)	$x=5 \text{ (cm)}$ (پله ششم)	$x=7 \text{ (cm)}$ (پله پنجم)				
PDD 5/15	۱/۹۱۰۱	۲/۵۴۱۰	۱/۹۵۶۱	۲/۴۷۷۰	۱/۸۸۸۲	۲/۳۷۷۰	۲/۰۱۲۰	۲/۲۸۶۱
PDD10/20	۲/۰۲۲۵	۲/۵۲۶۵	۲/۰۱	۲/۴۴۲۶	۱/۹۰۴۴	۲/۳۳۸۱	۲/۰۴۲۷	۲/۲۰۵۷

میدان) برای میدانهای 8×8 تا 8×16 در شکل ۲ مشاهده می‌شود:

شکل‌های مقادیر (PDD) و $(\frac{10}{20})$ مربوط به محاسبه و اندازه‌گیری، بر حسب X (فاصله از سمت چپ



شکل ۲: نسبت $PDD5/15$ محاسبه شده و اندازه‌گیری شده برای میدانهای $8 \times 8 \text{cm}^2$ تا $8 \times 16 \text{cm}^2$

برای میدان 8×12 ، 8×16 ، $0/2416$ ، برای میدان 8×14 و $0/3293$ برای میدان 8×8 . این میانگین برای همه میدانها برابر است با $0,3059$.

میانگین قدرمطلق اختلاف مقادیر (PDD) و $(\frac{5}{15})$ مربوط به محاسبه و اندازه‌گیری برای میدانهای 8×8 تا 8×16 به ترتیب عبارتند از: $0/3861$ برای میدان 8×8 ، $0/2347$ ، برای میدان 8×10 ، $0/2381$ ، برای میدان 8×12 ، $0/2416$ برای میدان 8×14 ، $0/3293$ برای میدان 8×16 .

می‌گردد. بدینهی است که برای رسیدن به نتایج بهتر و مقایسه دقیق‌تر می‌باشد به جای نسبت‌های درصد دوز عمقی، از مقایسه درصدهای دوز عمقی محاسبه و اندازه‌گیری، با یکدیگر استفاده کرد. از آنجا که کیفیت پرتوهای عبوری از پله‌های مختلف با یکدیگر متفاوت است، برای این مقایسه نیاز است نا با استفاده از دزیمتر با صفحات موازی ya Chamber Extrapolation . ابتدا عمق ناحیه بیلدآپ در زیر هر پله اندازه‌گیری شده و سپس با اندازه‌گیری دوز در عمق دلخواه در زیر یک پله و تقسیم آن بر دوز در عمق ماکزیمم دوز (D_0) در زیر همان پله و با استفاده از رابطه $PDD = 100 \times \frac{D_n}{D_0}$ ،

درصد دوز عمقی در زیر پله موردنظر را بدست آورد. لذا انجام آن به منظور کاربرد، در سایر پژوهش‌ها توصیه می‌شود.

همچنین به منظور تسريع محاسبات در شرایط سخت قر و جلوگیری از بروز خطأ، نوشتن نرمافزاری کامپیوتری برای انجام محاسبات توصیه می‌شود. می‌توان روش ارائه شده در این تحقیق را برای میدانهای با ابعادی در گستره $20 \times 20 \times 45$ و همچنین عمقهای ۱ تا 30 سانتیمتر و انواع پرتوهای با انرژیهای مختلف به کار برد، مورد ارزیابی قرار داد.

قدرتانی

بدینوسیله از حوزه معاونت محترم پژوهشی دانشگاه علوم پزشکی اهواز برای تأمین بودجه این طرح تشکر و قدردانی می‌شود.

بحث و نتیجه‌گیری

با توجه به مقادیر درصد دوز عمقی محاسبه شده مشاهده می‌شود که این مقادیر، با افزایش عمق کاهش می‌باشند که این امر، مطابق با انتظار است. همچنین مشاهده می‌شود که در یک عمق، با افزایش فاصله از لبه میدان، درصد دوز عمقی افزایش می‌باید که این به واسطه ضخامت کسترهای پله‌ها در فاصله‌های بیشتر از لبه میدان، و در نتیجه جذب کمتر اشعه توسط فیلتر می‌باشد.

نتایج فرمول پایی و خطای استاندارد (۱/۷۷۳۸) در فرمول PDD نشان می‌دهد که این خطأ اندک بوده و فرمول از آنse شده، برای محاسبه درصد دوز عمقی در زیر فیلترهای پله‌ای ذکر شده مناسب می‌باشد و نتایج بدست افسدہ با منحنیهای همدوز دستگاه کیالت تراپی بیمارستان گلستان اهواز مطابقت خوبی دارد. به طوریکه، در مواردیکه جداول نتایج محاسبات موجود نباشند، با وارد کردن عمق (X_2) و فاصله از لبه میدان (X_1) (ضخامت فیلتر، س فاصله از لبه میدان متناسب می‌باشد) در این فرمول، می‌توان درصد دوز عمقی را محاسبه کرد.

مقایسه نتایج محاسبه و اندازه‌گیری (جدولهای ۲ تا ۶ و سکلهای ۲ و ۳) نشان می‌دهد که مقادیر محاسبه و اندازه‌گیری به یکدیگر تزدیک می‌باشند. در برخی از موارد مقادیر اندازه‌گیری از مقادیر محاسبه بیشتر بوده، در نقضی دیگر این روند معکوس است. اختلاف زیاد محاسبه و اندازه‌گیری در برخی از موارد، به واسطه دقت کم اندازه‌گیری در این موارد بوده. لزوم استفاده از فاشنومی سایستم مکانیابی خودکار دوزیمتر را گوشزد می‌کند. با توجه به نتایج بدست آمده، صحبت روش مورد استفاده در این تحقیق در محاسبه درصد دوز عمقی در زیر فیلترهای پله‌ای و در صورت کافی بودن پله‌ها، صحبت آن در محاسبه درصد دوز عمقی در زیر فیلتر وجود تأیید

منابع

- 1-Yeo I, Chris Wang C, Burch S. A filtration method for improving film dosimetry in photon radiation therapy. *Med Phys* 1997; 24(12) : 1943-53.
- 2-Van der Giessen P, Hurkmans C. Calculation and measurement of the dose to points outside the primary beam for Co-60 gamma radiation. *Int J Radiat Oncol Biol Phys* 1993 ; 27(3) : 717-24.
- 3-White R, Thames H. An improved computer model for Cobalt dose distributions. *Radiology* 1977;124(3):840-1.
- 4-Boyer A, Mok E. A photon dose distribution model employing convolution calculations. *Med Phys* 1985; 12(2) : 169-77.
- 5-McCullough E. A measurement and analysis of buildup region dose for open field photon beams (Cobalt-60 through 24 MV). *Med Dosim* 1994 ; 19(1) : 5-14.
- 6-Tsalafoutas I, Xenofos S, Papalexopoulos A, Nikoletopoulos S. Dose calculations for asymmetric fields defined by independent collimators using symmetric field data. *Br J Radiol* 2000 ; 73 : 403-9.
- 7-Kornelson R, Young M. Empirical equations for the representation of depth dose data for computerized treatment planning. *Br J Radiol* 1975; 48(573) : 739-48.
- 8-Khan F. The Physics of Radiation Therapy. 2 nd ed. USA : Williams & Wilkins; 1994.
- 9-Hendee W, Ibbott G. Radiation Therapy Physics. 2nd ed. USA: Mosby; 1996.
- 10-Cunningham J. Development of computer algorithms for radiation treatment planning. *Int J Radiat Oncol Biol Phys* 1989; 16(6) : 1367-76.
- 11-Khan F. Computer dosimetry of partially blocked fields in cobalt teletherapy. *Radiology* 1970; : 97: 405-11.
- 12-Davis J, Reiner B. Depth Dose under narrow shielding blocks: a comparison of measured and calculated dose. *Radiother & Oncol* 1995; 34 : 219-27.
- 13-Jayaraman S. Computer generation of cobalt-60 single beam dose distribution using an analytical beam model. *Strahlentherapie* 1981; 157(3) : 171-80.
- 14-Lam W, Lam K. Beam data requirements of the Clinac 4 for three-dimensional treatment planning with wedged fields. *Br J Radiol* 1983; 56 : 949-56.
- 15-Stala T, Lobodziec W, Kosniewski W. Dose-rate distribution in wedged beams of 9 MV X-rays from Linac Neptune 10p and of gamma-ray beams from Gammatron 80S. *Strahlentherapie* 1984; 160(1) : 21-5.
- 16-Papiez E, Froese G. The calculation of transmission through a photon beam attenuator using sector integration. *Med Phys* 1990; 17(2) : 281-6.
- 17-Yao J, Ranganathan G. On three-dimensional dose calculation of photon beam with wedge filters. *Med Phys* 1994 ; 21(6) : 809-16.
- 18-Storchi P, Woudstra E. Calculation models for determining the absorbed dose in water phantoms in off-axis planes of rectangular fields of open and wedged photon beams. *Phys Med Biol* 1995; 40 : 511-27.
- 19-Zhu X, Low D, Harms W, Purdy J. A Convolution-adapted ratio-TAR algorithm for 3D photon beam treatment planning. *Med Phys* 1995; 22(8) : 1315-27.
- 20-Ahnesjo A, Weber L, Nilsson P. Modeling transmission and scatter for photon beam attenuators. *Med. Phys* 1995; 22(11) : 1711-20.
- 21-Liu H, Mackie T, McCullough E. Calculation dose and output factors for wedged photon radiotherapy fields using a convolution/superposition method. *Med Phys* 1997; 24(11) : 1714-28.
- 22-Castellanos M, Rosenwald J. Evaluation of the scatter field for high-energy photon beam attenuators. *Phys Med Biol* 1998; 43 : 277-90.